

北海道大学工学部 正会員 尾崎晃

I. 直立式消波岸壁の形態

港湾整備の進展に伴って、消波性のよい直立岸壁に対する要求が強くなるとともに、最近各種型式の消波岸壁が注目を浴びるようになってきた。ここに取上げておきるものもその1つの型式であつて、オ26回の年次講演会に始めて発表したところであるが、研究は数年前より進められていて、既に実際に施工され（北海道館浜漁港）良好な結果を得ている。様式は図-1に構造の1部を示す通り2組の部材より成つていて、岸壁法線に対し直角に配列された床版支持壁（A）の両側に適当な間隔で多数の垂直翼（B）を突出させたものであり、これらと最後部の水平消波棚（C）とを組合せて1体とする。床版支持壁（A）の間隔は岸壁の規模によつても異なるが、1.8~2.5m程度で、垂直翼（B）の突出長さは0.6~1.0m程度、その数は5~7枚程度が実用上良い結果を与える。館浜漁港の消波岸壁は図-1(b)に示す通りである。

2. 消波岸壁の機能

この形式の消波岸壁は波が入射して垂直翼に衝突し、1部が流れに変ったとき翼端に発生する鉛直軸をもつ渦によって主として勢力損失を生じる性質のものであるため、多数の翼が両側から向き合つてこの構造について理論解を求めるることは容易でない。従つていますまで実験によつて研究が進められており、現在未だ一般的な解法は確立されていない。しかしこれまでに行なわれた模型実験（縮尺1/50）の結果によれば、実用範囲と考えられる規模の消波岸壁（図-1）に対しては、反射率 $K_R=0.1 \sim 0.3$ の範囲にあり、この種の構造物の一般的特性である波形勾配が小さい場合に効率が悪くなるという現象が見られない。むしろ相対水深による影響の方が顕著である。ただし相対水深が小さい ($H_0 < 0.13$) 場合には、ぶつうの風浪やうねりの波は港内に入つて岸壁に到達する頃には殆んどの波が碎波となるので、この消波岸壁の機能上からはカえつて有利である。

3. 消波機能に関する基礎実験

この消波岸壁による波のエネルギー減殺機構としては、図-2のように垂直翼の翼端から発生する鉛直軸を有する渦が、その最も主要因を有するものであつて、これが互に向き合つてある垂直翼から発生し、1組ごとに1対の反対方向の渦、即ち渦対を形成する。波が最奥部まで進入した所では水平棚があつて、ここでは上下方向の流れに變るので、水平翼端で水平軸を有する渦が発生し、ここでも勢力損

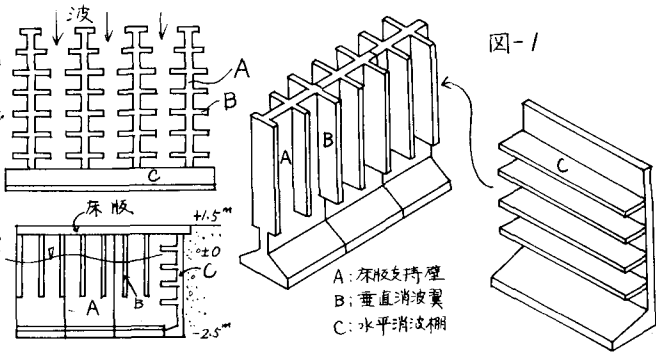


図-1

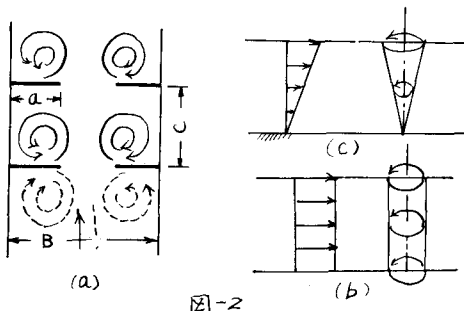
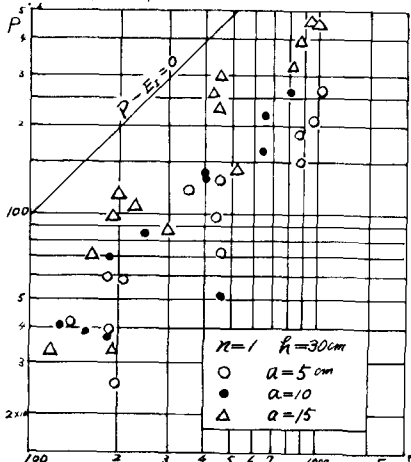


図-2

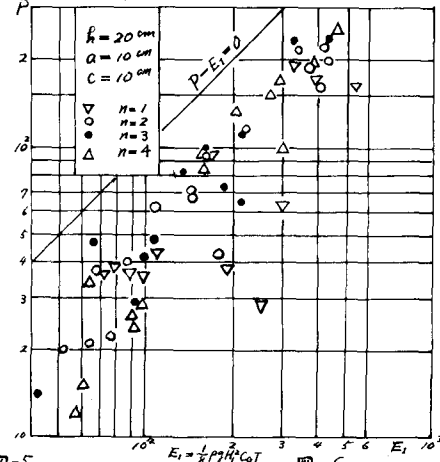
失が生じる。図-2(a)のように波の1周期において、垂直翼群の所では一方の側だけで翼の表側、裏側に2個の渦が発生する。これらの渦によるエネルギー減耗の問題に関しては、日野・山崎の研究⁽¹⁾がある。これは上様が水面下にある垂直板(1枚)に周期波があたる場合、板の上様から発生する水平軸を持つ渦によるエネルギー散逸を取扱つたもので、図-3のように有限の半径 $r=a(>\ell)$ をもつ渦対の中間距離が ℓ で、 $\ell > a$ のとき渦対の運動エネルギー e は $e = \frac{\pi}{2} \rho g^2 \ell^2 (1 + 4 \ln \frac{a}{\ell}) \dots (1)$ または $e = \frac{1}{3\pi} \ell^2 (1 + 4 \ln \frac{a}{\ell}) \dots (2)$ 、 ただし $g_x = \frac{\ell}{2\pi T} \dots (3)$ で表わされる。これは渦の軸方向に渦の強さが一様である水平軸渦の場合であるが、本消波岸壁のように浅海波領域における垂直軸のまわりの渦では、図-2(c)のように渦の半径は水面で最大で水深と共に減少し、さらにその関係は水深波長比(η)によつても種々異なるので簡単ではない。今度の実験では垂直翼から発生する渦によるエネルギー消費を測定する目的で、図-1のようを消波岸壁そのまゝではなくて、図-4に示すように幅50cm、長さ12m、深さ50cmの造波水槽内に両側壁から図-2(a)のように垂直翼を突出させ、入射波高 H_i に対する反射波高 H_R 、透過波高 H_T を測定し、

$$P = \left\{ 1 - \left(\frac{H_R}{H_i} \right)^2 - \left(\frac{H_T}{H_i} \right)^2 \right\} \cdot \frac{1}{2} \rho g H_i^2 C_g T \dots (4)$$

ここで C_g は波の群速度、 T は周期、 ρ は水の密度の関係から、波の1周期に失なわれたエネルギー P を計算し、垂直翼の長さ a 、前後の翼との間隔 c 、翼の数が変化することにより P がどのように変化かを始めた。図-5、図-6に結果の一部を示す。図-5は幅50cmの水路の両側から垂直翼をこれぞれ1枚突出した場合に、 a の長さを3種類変化させて渦によるエネルギー散逸量を比較したものである。実験装置の不備、測定誤差などの影響で値は少しひらついているが、 $a=15cm$ の場合にエネルギー散逸が最大、 $a=5cm$ の場合に最も小さいという傾向が見られる。図-6は $a=10cm$ 、 $c=10cm$ と一定にしておいて、枚数れを1~4に変化させた場合である。これも奥が非常にひらついて、どの相違による効果がはつきりしないが、入射エネルギーの1/2に相当するエネルギー散逸量が実験の上限になつてゐる。以上は今回行なつた実験の一



(1) 日野幹雄・山崎丈夫；波による垂直板よりの渦の形成とエネルギー散逸、第18回海岸工学講演会論文集(昭和46.10)



部で、この地盤、%、%Bなどの影響について実験の精度を高めるよう注意しながら研究を続けていた。なお本実験および計算は当時土木工学科の学生大沼孝二君(現在三井建設KK)に負う所が大であり、厚く謝意を表する。

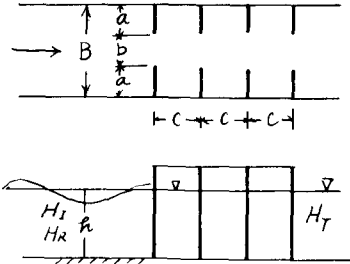


図-4